

~~٢٠١٦~~
٢٠١٧



١٥٢٤٢١



وزارت علوم ، تحقیقات و فناوری
دانشگاه شهید بهشتی
دانشکده علوم زمین
گروه آموزشی زمین شناسی

رساله جهت اخذ درجه دکتری D .
رشته زمین شناسی گرایش چینه شناسی و فسیل شناسی

عنوان

چینه شناسی و فسیل شناسی ردیف های رسوبی کرتاسه میانی در
خاور کپه داغ (با توجه ویژه به فون آمونیتی)

اساتید راهنما

دکتر محمد رضا شهیدا و دکتر کاظم سید امامی

استاد مشاور

دکتر علی اصغر آریابی

نگارنده

عبدالمجید موسوی نیا

نیمسال اول سال تحصیلی ۸۷ - ۸۶

۱۰۳۴۲۱

بسمه تعالیٰ
وزارت علوم ، تحقیقات و فناوری
دانشگاه شهید بهشتی
دانشکده علوم زمین
گروه آموزشی زمین شناسی
تأییدیه دفاع از رساله دکتری

این رساله توسط آقای عبدالمجید موسوی نیا دانشجوی دوره دکتری رشته زمین شناسی - چینه شناسی و فسیل شناسی تحت عنوان چینه شناسی و فسیل شناسی ردیف های رسوبی کوتاهه میانی در خاور کپه داغ (با توجه ویژه به فون آمونیتی) در تاریخ ۱۳۸۷/۷/۲۷ مورد دفاع قرار گرفت و براساس رأی هیأت داوران با نمره . ۱۹۴۵ افزارهای خودکار و سایر درجه پذیرفته شد .

استاد راهنمای آقای دکتر محمد رضا شهیدا

استاد راهنمای آقای دکتر کاظم سید امامی

استاد مشاور آقای دکتر علی اصغر آریایی

داور از دانشگاه آقای دکتر عباس صادقی

داور از دانشگاه آقای دکتر انوشیروان لطفعلی کنی

داور خارج از دانشگاه آقای دکتر علی میثمی

داور خارج از دانشگاه آقای دکتر محمود رضا مجیدی فرد

لقد یکم بہ زندہ یاد

دکتر عباس افشار حرب

تشکر و قدردانی

سپاس پروردگار یکتا را که مرا صبر و توان نگارش این رساله عطا فرمود و لحظه ای تنها نگذاشت. آشکار است که پدیدآمدن این مجموعه بدون کمک دوستان و استادان بزرگوار که پیوسته همراه بودند، ممکن نبود.

از جناب آقای دکتر محمدرضا شهیدا (استاد راهنمای اول) نهایت تشکر را دارم که در تمام امور یار و همراه من بودند. ایشان با توصیه ها و راهنمائی های ارزنده انجام امور را برای من سهل تر نمودند.

از جناب آقای پروفسور کاظم سیدامامی (راهنمای دوم) که همیشه با صبر و حوصله فراوان پذیرای اینجانب بودند و بی شک بدون یاری ایشان مطالعات آمونیتی و زمین شناسی بصورت موجود امکان پذیر نبود، بی نهایت سپاسگزارم.

جناب آقای دکتر آریائی (استاد مشاور) آغازگر و یاور مطالعات صحرائی اینجانب بودند. این مجموعه را بدون ایشان و رهنماوهای ارزنده شان نمی توان تصور کرد. قدردان زحمات ایشان هستم.

بخش بسیار مهمی از پایان نامه که مطالعه آمونیت ها بود، بدون کمک استادان بزرگوار دانشگاه ورتسبورگ (Würzburg) آلمان، پروفسور مارکوس ویلمسن (Markus Wilmsen) و رئیس انسستیتو فسیل شناسی این دانشگاه، پروفسور فرانتس فورزیش (Franz T. Fürsich) به هیچ وجه امکان پذیر نبود. پروفسور ویلمسن با اطلاعات جامع در زمینه آمونیت های سنومانین و روی گشاده، همیشه راهنمای من بودند.

خانم شونیگ (Schönig) مسئول آگاه آزمایشگاه عکسبرداری با تهیه حدود ۱۰۰۰ عکس از نمونه های آمونیتی، که ایشان قبلاً با بخار منیزیوم آماده سازی کرده بود، نقش به سزائی در کیفیت تابلوهای آمونیتی داشتند.

از آقای دکتر محمد وحیدی نیا که مرا در تشخیص فرامینی فرها یاری کردند نهایت تشکر را دارم.

از خانم مهندس الهام بهرامی که در کلیه مراحل تایپ و تدوین پایان نامه با دقت و صبر فراوان مرا یار و یاور بودند، بی نهایت سپاسگزارم.

از معاونت محترم تحصیلات تکمیلی دانشکده علوم زمین جناب آقای دکتر سید محمد پورمعافی و جناب آقای دکتر محسن پورکرمانی مدیر گروه زمین شناسی بخاطر تسريع امور و در اختیار قراردادن امکانات نهایت تشکر را دارم.

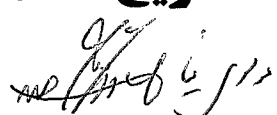
در نهایت از سایر دوستان و همکاران که به هر طریقی مرا یار و یاور بودند، بی نهایت ممنون و سپاسگزارم.

اقرار و تعهدنامه

اینجانب عبدالمجید موسوی نیا دانشجوی
قطع دکتری دانشگاه شهید بهشتی، دانشکده
علوم زمین، گروه زمین شناسی، رشته زمین شناسی،
گرایش چینه شناسی و فسیل شناسی رساله حاضر را
براساس مطالعات و تحقیقات شخصی خود انجام داده
و در صورت استفاده از داده‌ها، مآخذ، منابع و
نقشه‌ها به طور کامل به آن ارجاع داده‌ام، ضمناً
داده‌ها و نقشه‌های موجود را با توجه به مطالعات
میدانی – صحرائی خود تدوین نموده‌ام. این رساله
پیش از این به هیچ‌وجه در مرجع رسمی یا غیر رسمی
دیگری به عنوان گزارش یا طرح تحقیقاتی عرضه
نشده است. در صورتی که خلاف آن ثابت شود،
درجی دریافتی اینجانب از اعتبار ساقط شده،
عواقب و نتایج حقوقی حاصله را می‌پذیرم.

تاریخ ۱۳۸۷/۷/۲۷

امضاء



چکیده

جهت مطالعه ردیف های رسوبی کرتاسه میانی در خاور کپه داغ جمعاً ۷ برش انتخاب گردید. ضخامت کل ردیف های رسوبی مطالعه شده که در برگیرنده بخش زبرین سازند سنگانه، سازند آیتمیر و قاعده سازند آبدراز است، حدود ۴۰۰۰ متر می باشد. بیش از ۴۰۰ نمونه آمونیت جمع آوری شدند. از آمونیت های به دست آمده، در مجموع ۲۵ جنس، ۶ زیرجنس، ۵۲ گونه و ۷ زیرگونه تشخیص داده شدند. تعداد ۱۲ جنس، ۱۹ گونه و ۴ زیرجنس برای اولین بار از ایران و تعداد ۱۳ جنس، ۲ زیرجنس، ۱۵ گونه و ۲ زیرگونه برای اولین بار از کپه داغ گزارش می شود. یک نمونه (آمونیت) که به نام *Seyedemamiceras gharehsuensis nov.* gen. et nov. sp. به بخش زبرین سازند سنگانه و با توجه به نمونه های همراه باید بیانگر آپسین پسین باشد. آمونیت های توصیف شده متعلق به خانواده های

Acanthoceratidae, Brancoceratidae, Cleoniceratidae, Placenticeratidae, Forbesiceratidae, Parahoplitidae, Hoplitidae, Turrilitidae, Schloenbachiiidae, Anisoceratidae.

می باشند. قدیمی ترین آمونیت های برداشت شده متعلق به بخش زبرین سازند سنگانه و از خانواده 1922 Parahoplitidae Spath, می باشند که بیانگر آپسین پسین اند. جوانترین آمونیت ها از ردیف های رسوبی انتهائی سازند آیتمیر برداشت شده اند. این آمونیتها متعلق به خانواده 1894 Acanthoceratidae Grossouver, C. guerangeri و شاخص زون (قاعده سنومانین پسین) می باشند. با توجه به آمونیت های شاخص بدست آمده وجود زون های

Hypacanthoplites jacobi, Leymeriella tardefurcata, Douvilleiceras mammilatum Hoplites dentatus, Euhoplites loricatus, Euhoplites laetus, Mortoniceras (Mortoniceras) inflatum, Stoliczkaia dispar, Mantelliceras mantelli, Acanthoceras rhotomagense, Calycoceras guerangeri

محرز می باشد. از این میان حضور آمونیتهای شاخص زون های Leymeriella tardefurcata و Mantelliceras dixoni کم رنگ و زون Douvilleiceras mammilatum با تردید همراه است. با توجه به آمونیت های بدست آمده و بورال بودن آنها تعلق منطقه به نیمه شمال غربی تیسیس و ارتباط دیرینه زیست جغرافیائی آن با غرب اروپا محرز می باشد.

ردیف های رسوبی سازند آیتمیر در کلیه برش ها از شیل، لایه های ماسه سنگی و به میزان کم سنگ آهک تشکیل شده است که به صورت متناوب نهشته شده اند. ضخامت لایه های سخت سنگی بخش زبرین بیشتر از نیمه زبرین است. کلیه ردیف های رسوبی حاوی گلوکونیت می باشند. مرز سازند سنگانه و آیتمیر تدریجی و ناهمzman (diachronous) است در حالیکه با سازند آبدراز با نبود چینه ای همراه است. بر ضخامت سازند آیتمیر از شرق به غرب افزوده می شود.

فهرست مطالب

صفحه

I	چکیده
V	فهرست اشکال
1	فصل اول: کلیات
2	اهداف تحقیق
3	روش تحقیق
	مختصات جغرافیائی و راههای دسترسی به برش های چینه شناسی
5	مورد مطالعه
5	برش چینه شناسی گردنۀ مزدوران
5	برش چینه شناسی قرقره
5	برش چینه شناسی امیرآباد
5	برش چینه شناسی صالح آباد
6	برش چینه شناسی زاوین
6	برش چینه شناسی پادگان قدس
6	برش چینه شناسی قره سو
9	پیشینه تحقیقات حوضه کپه داغ
11	نگاهی کوتاه به ردیف های رسویی کرتاسه در کپه داغ
11	سازند شوریجه
12	سازند زرد
12	سازند تیرگان
13	سازند سرچشمۀ
13	سازند سنگانه
14	سازند آیتامیر
15	سازند آبدراز
16	سازند آب تلخ
16	سازند نیزار
17	سازند کلات
19	نگاهی کوتاه به ردیف های رسویی و فونای آمونیتی آپسین - سنومانین در ایران مرکزی و انطباق آن با کپه داغ
	اشکوب آپسین

۲۳ اشکوب آلبین
۲۸ اشکوب سنومانین
فصل دوم: بیواستراتیگرافی و لیتو استراتیگرافی ردیف های رسوبی مورد مطالعه	
۳۵ از شرق به غرب
۳۶ برش چینه شناسی مزدوران
۵۷ برش چینه شناسی قرقره
۹۴ برش چینه شناسی امیرآباد
۱۴۳ برش چینه شناسی صالح آباد
۱۶۲ برش چینه شناسی زاوین
۱۷۸ برش چینه شناسی پادگان قدس
۱۹۰ برش چینه شناسی قره سو
۲۱۱ فصل سوم: مطالعه سیستماتیک آمونیت ها
	TAXONOMY AND SYSTEMATIC DESCRIPTION
۲۱۳ Parahoplitidae
۲۲۴ Placenticeratidae
۲۲۹ Schloenbachiidae
۲۳۹ Hoplitidae
۲۶۸ Forbesiceratidae
۲۷۰ Acanthoceratidae
۲۷۹ Brancoceratidae
۲۸۸ Turrilitidae
۲۹۵ Anisoceratidae
۲۹۷ Cleoniceratidae

فصل چهارم: بحث و نتیجه گیری

۲۹۸ انطباق برش های مطالعه شده
۲۹۹ انطباق آپسین پسین در برش های مورد مطالعه
۳۰۰ انطباق آلبین پیشین در برش های مورد مطالعه
۳۰۲ انطباق آلبین میانی در برش های مورد مطالعه
۳۰۴ انطباق آلبین پسین در برش های مورد مطالعه
۳۰۶ انطباق سنومانین پیشین در برش های مورد مطالعه

۳۰۸	انطباق سنومانین میانی در برش های مورد مطالعه
۳۰۹	انطباق سنومانین پسین در برش های مورد مطالعه
۳۱۳	مقایسه فونای آمونیتی ایران مرکزی و کپه داغ
۳۲۲	محیط رسوی و جغرافیای دیرینه
۳۳۲	نتیجه گیری
۳۳۹	فصل پنجم: منابع و مأخذ
۳۵۱	تابلو آمونیت ها

صفحه	فهرست اشکال، نمودارها، جداول
۶	شکل شماره ۱: موقعیت جغرافیایی منطقه کپه داغ؛ برگرفته از Marie-Francoise Brunet (2003) با تغییرات جزئی.
۷	شکل شماره ۲: موقعیت و راههای دستیابی به برش های مورد مطالعه.
۸	شکل شماره ۳: عکس ماهواره‌ای از شرق کپه داغ و موقعیت تقریبی برش های مورد مطالعه (برگرفته از Google Earth).
۳۳	شکل شماره ۴: انطباق ستونهای چینه سنگی ایران مرکزی و کپه داغ برگرفته از (سیدامامی، ۱۳۷۵) با انتخاب محدوده زمانی آپسین – سنومانین و مناطق کپه داغ- ایران مرکزی.
۳۴	شکل شماره ۵: انطباق ستونهای چینه شناسی ایران مرکزی و کپه داغ برگرفته از (سیدامامی، ۱۳۷۵) با انتخاب محدوده زمانی آپسین-سنومانین و انضمام کپه داغ.
۳۸	شکل شماره ۶: ماسه سنگ بسیار دانه ریز؛ مزدوران؛ بخش ۳؛ شماره مقطع نازک: At.M.2.1-C
۳۸	شکل شماره ۷: ماسه سنگ گلوکوئیتی؛ مزدوران؛ بخش ۴؛ شماره مقطع نازک: At.M.2.2
۳۹	شکل شماره ۸: ماسه سنگ دانه ریز گلوکوئیتی فسیل دار؛ مزدوران؛ بخش ۶؛ شماره مقطع نازک: At.M.4.1-C
۴۱	اشکال شماره ۹ و ۱۰: ماسه سنگ گلوکوئیتی فسیل دار؛ مزدوران؛ بخش ۸؛ شماره مقطع نازک: At.M.4.1-C.
۴۳	جدول شماره ۱: زون بندی آپسین پسین-آلین براساس آمونیتها (اقتباس از Kilian (Group2005).
۴۴	شکل شماره ۱۱: بیومیکرودایت گلوکوئیتی کوارتزدار؛ مزدوران؛ بخش ۱۲؛ شماره مقطع نازک: At.M.6.1A
۴۵	شکل شماره ۱۲: ماسه سنگ، گلوکوئیتی؛ مزدوران؛ بخش ۱۳؛ شماره مقطع نازک: At.M.7.1A
۴۵	شکل شماره ۱۳: بایوسپارودایت گلوکوئیت دار؛ مزدوران؛ بخش ۱۴؛ شماره مقطع نازک: At.M.8.1A
۴۷	شکل ۱۴: شیلهای بخش زبرین سازند آیتمیر که به علت نرم بودن سنگهای آن ایجاد توپوگرافی پست و تپه های کم ارتفاع کرده است؛ برش مزدوران.

۴۹	اشکال شماره ۱۵ و ۱۶: بیواسپارایت یا گرینستون؛ مزدوران؛ بخش ۲۰؛ شماره مقطع نازک: At.M.1.3-b
۵۰	شکل شماره ۱۷: بیواسپارودایت؛ مزدوران؛ بخش ۲۰؛ شماره مقطع نازک: At.M.1.3-b
۵۰	شکل شماره ۱۸: بیواسپارودایت؛ مزدوران؛ بخش ۲۲؛ شماره مقطع نازک: At.M.2.1.b
۵۱	نمودار ۱: نسبت فراوانی تاکسون های آمونیتی در برش مزدوران.
۵۳	راهنمای ستون های چینه شناسی
۵۴	شکل شماره ۱۹: ستون چینه شناسی و زون های آمونیتی ردیف های رسوبی مطالعه شده در برش مزدوران.
۵۵	ادامه شکل شماره ۱۹: ستون چینه شناسی، زون های آمونیتی و فرامینی فرهای ردیف های رسوبی مطالعه شده در برش مزدوران.
۵۶	ادامه شکل شماره ۱۹: ستون چینه شناسی و زون های آمونیتی ردیف های رسوبی مطالعه شده در برش مزدوران.
۵۷	شکل شماره ۲۰: نمای کلی از منطقه قرقره.
۶۲	اشکال شماره ۲۱ و ۲۲: ماسه سنگ فسیل دار (هیبرید)؛ قرقره؛ بخش ۹؛ شماره مقطع نازک: At.Go.8.1
۶۳	شکل شماره ۲۳: سنگ آهک ماسه ای فسیل دار؛ قرقره؛ بخش ۱۱؛ شماره مقطع نازک: At.Go.8.1-D
۶۳	شکل شماره ۲۴: لیت آرنایت گلوکونیتی؛ قرقره؛ بخش ۱۳؛ شماره مقطع نازک: At.Go.10.1-D
۶۴	شکل شماره ۲۵: ماسه سنگ آهکی؛ قرقره؛ بخش ۱۵؛ شماره مقطع نازک: At.Go.12.1-D
۶۶	شکل شماره ۲۶: بایومیکرودایت کوارتزدار؛ قرقره؛ بخش ۱۹؛ شماره مقطع نازک: At.Go.16.1D
۶۸	اشکال شماره ۲۷ و ۲۸: سنگ آهک پرسیل؛ قرقره؛ سازند آیتمیر.
۷۲	شکل شماره ۲۹: بیواسپارودایت؛ قرقره؛ بخش ۲۵؛ شماره مقطع نازک: At.Go.1.3-b A

۷۲	شکل شماره ۳۰: بایوسپارودایت؛ قرقره؛ بخش ۲۷؛ شماره مقطع نازک: At.Go.1.2-A
۷۳	اشکال شماره ۳۲ و ۳۱: کلسی رو دایت کوارتزدار؛ قرقره؛ بخش ۲۸؛ شماره مقطع نازک: At.Go.1.4-A
۷۴	اشکال شماره ۳۳ و ۳۴: ساب لیت آرنایت گلوکونیتی؛ قرقره؛ بخش ۳۱؛ شماره مقطع نازک: At.Go.4.1-A
۷۶	شکل شماره ۳۵: مادستون؛ قرقره؛ بخش ۳۷؛ شماره مقطع نازک: At.Go.10.1-A
۸۰	اشکال شماره ۳۶ و ۳۷: بایوسپارودایت کوارتز دار؛ قرقره؛ بخش ۳۹؛ شماره مقطع نازک: At.Go.12.1
۸۱	شکل شماره ۳۸: ساب لیترانایت؛ قرقره؛ بخش ۴۳؛ شماره مقطع نازک: At.Go.16.1A
۸۱	شکل شماره ۳۹: سنگ آهک ماسه ای گلوکونیتی؛ قرقره؛ بخش ۴۸؛ شماره مقطع نازک: At.Go.1.G3-G
۸۳	شکل شماره ۴۰: بخش ماسه سنگی شماره ۵۲ با ضخامت کم؛ قرقره؛ آیتمیر.
۸۵	جدول شماره ۲: زون های سنومانین بر مبنای آمونیت ها (اقتباس از Kaplan et al. 1996)
۸۶	شکل شماره ۴۱: مرز تقریبی سازند آیتمیر و آب دراز؛ قرقره.
۸۸	نمودار ۲: نسبت فراوانی تاکسون های آمونیتی در برش قرقره.
۹۱	شکل شماره ۴۲: ستون چینه شناسی، زون های آمونیتی و فرامینی فرهای ردیف های رسوی مطالعه شده در برش قرقره.
۹۲	ادامه شکل شماره ۴۲: ستون چینه شناسی، زون های آمونیتی و فرامینی فرهای ردیف های رسوی مطالعه شده در برش قرقره.
۹۳	ادامه شکل شماره ۴۲: ستون چینه شناسی، زون های آمونیتی و فرامینی فرهای ردیف های رسوی مطالعه شده در برش قرقره.
۹۶	شکل شماره ۴۳: مرز سازند آیتمیر و سنگانه؛ امیرآباد.
۹۶	شکل شماره ۴۴: کنکرسیون های سازند سنگانه با ابعاد و اشکال مختلف؛ امیرآباد.

۹۷	شکل شماره ۴۵: کنکرسیون شیلهای زبرین سازند سنگانه، حاوی آمونیت Hypacanthoplites? sp.؛ امیرآباد.
۹۷	شکل شماره ۴۶: شیل های تیره سنگانه و افق کنکرسیون دار آن؛ امیرآباد.
۱۰۱	شکل شماره ۴۷: لیترانایت گلوکونیتی؛ امیرآباد؛ بخش ۱۱؛ شماره مقطع نازک: At.Am.10/1-D
۱۰۱	شکل شماره ۴۸: ماسه سنگ؛ امیرآباد؛ بخش ۱۷؛ شماره مقطع نازک: At.Am.16/3-D
۱۰۳	شکل شماره ۴۹: بایو اسپارایت یا گرینستون؛ امیرآباد؛ بخش ۱۹؛ شماره مقطع نازک: At.Am.2.1-E
۱۰۶	شکل شماره ۵۰: سیلتستون؛ امیرآباد؛ بخش ۲۵؛ شماره مقطع نازک: At.Am.8.1
۱۰۶	شکل شماره ۵۱: ماسه سنگ؛ امیرآباد؛ بخش ۳۱؛ شماره مقطع نازک: At.Am.14.1 E
۱۰۷	شکل شماره ۵۲: ماسه سنگ فسیل دار؛ امیرآباد؛ بخش ۳۱؛ شماره مقطع نازک: .At.Am.14.1 E
۱۰۸	شکل شماره ۵۳: ماسه سنگ گلوکونیتی (بخش ۳۷)؛ امیرآباد؛ آیتمیر.
۱۱۰	اشکال شماره ۵۵ و ۵۴: ماسه سنگ؛ امیرآباد؛ بخش ۳۹؛ شماره مقطع نازک: At.Am.2G2
۱۱۳	اشکال شماره ۵۷ و ۵۶: لیترانایت (چرت آرنایت)؛ امیرآباد؛ بخش ۴۵؛ شماره مقطع نازک: At.Am.6G1
۱۱۴	شکل شماره ۵۸: ماسه سنگ گلاکونیتی؛ امیرآباد؛ بخش شماره ۴۷؛ شماره مقطع نازک: At.Am.8G2
۱۱۶	شکل شماره ۵۹: سنگ آهک ماسه ای؛ امیرآباد؛ بخش ۴۹؛ شماره مقطع نازک: At.Am.8G4
۱۱۶	شکل شماره ۶۰: ایکنوجنوس پالئوفیکوس؛ ماسه سنگ ۵۳؛ امیرآباد؛ آیتمیر.
۱۱۹	نمودار ۳: نسبت فراوانی تاکسون های آمونیتی در برش امیرآباد.
۱۲۰	شکل شماره ۶۱: ستون چینه شناسی، زون های آمونیتی و فرامینی فرهای ردیف های رسوبی مطالعه شده در برش امیر آباد.

۱۲۱	ادامه شکل شماره ۶۱: ستون چینه شناسی و زون های آمونیتی ردیف های رسوبی مطالعه شده در برش امیر آباد.
۱۲۲	ادامه شکل شماره ۶۱: ستون چینه شناسی و زون های آمونیتی ردیف های رسوبی مطالعه شده در برش امیر آباد.
۱۲۵	شکل شماره ۶۲: مرز سازند های آیتمیر و سنگانه در برش صالح آباد.
۱۲۵	شکل شماره ۶۳: تناوب شیل و ماسه سنگ های گلوکونیتی در بخش زیرین سازند آیتمیر؛ صالح آباد.
۱۲۶	شکل شماره ۶۴: ماسه سنگ فسیل دار (هیبرید)؛ صالح آباد؛ بخش ۳؛ شماره مقطع نازک: At.Sa.2/1-D
۱۲۶	شکل شماره ۶۵: بیومیکرودایت گلوکونیتی کوارتز دار؛ صالح آباد؛ بخش ۵؛ شماره مقطع نازک: At.Sa.4/1-D
۱۲۷	شکل شماره ۶۶: سنگ آهک ماسه ای؛ صالح آباد؛ بخش ۷؛ شماره مقطع نازک: At.Sa.6/1-D
۱۲۹	شکل شماره ۶۷: ساب لیت آرنایت گلوکونیت دار؛ صالح آباد؛ بخش ۱۳؛ شماره مقطع نازک: At.Sa.12/1-D
۱۳۱	اشکال شماره ۶۹ و ۶۸: ساب لیتارنایت گلاکونیتی؛ صالح آباد؛ بخش ۱۵؛ شماره مقطع نازک: At.Sa.14/1-D
۱۳۵	شکل شماره ۷۰: سیلتستون؛ صالح آباد؛ بخش شماره ۳۲؛ شماره مقطع نازک: At.Sa.31/1-D
۱۳۷	شکل شماره ۷۱: سیلتستون؛ صالح آباد؛ بخش ۴۴؛ شماره مقطع نازک: At.Sa.45/1-D
۱۴۳	اشکال شماره ۷۲ و ۷۳: ماسه سنگ آهکی تا سنگ آهک ماسه ای؛ صالح آباد بخش ۷۷؛ شماره مقطع نازک: At.Sa.5.3
۱۴۴	شکل شماره ۷۴: مادستون؛ صالح آباد؛ بخش ۸۰؛ شماره مقطع نازک: At.Sa.6.2
۱۴۷	شکل شماره ۷۵: ماسه سنگ آهکی تا سنگ آهک ماسه ای؛ صالح آباد؛ بخش ۸۷؛ شماره مقطع نازک: At.Sa.9.2
۱۴۷	شکل شماره ۷۶: سنگ آهک ماسه ای؛ صالح آباد؛ بخش ۹۳؛ شماره مقطع نازک: At.Sa.9.8

۱۵۱	شکل شماره ۷۷: ماسه سنگ آهکی؛ حاوی آمونیت های سنومانین میانی؛ بخش ۱۰۵؛ صالح آباد؛ آیتمیر.
۱۵۲	شکل شماره ۷۸: مجاری لوله مانند ترشح شده توسط پلی‌شتا (سرپولا)؛ بخش ۱۰۵؛ صالح آباد؛ آیتمیر.
۱۵۵	شکل شماره ۷۹: باiomicroایت؛ صالح آباد؛ بخش ۱۱۳؛ شماره مقطع نازک: Ab.Sa.3G5
۱۵۵	شکل شماره ۸۰: سازندهای آیتمیر و آبدراز با توجه به اختلاف رنگ به راحتی قابل تفکیک اند؛ صالح آباد.
۱۵۸	نمودار ۴: نسبت فراوانی تاکسون های آمونیتی در برش صالح آباد.
۱۵۹	شکل شماره ۸۱: ستون چینه شناسی و زون های آمونیتی ردیف های رسوبی مطالعه شده در برش صالح آباد.
۱۶۰	ادامه شکل شماره ۸۱: ستون چینه شناسی و زون های آمونیتی ردیف های رسوبی مطالعه شده در برش صالح آباد.
۱۶۱	ادامه شکل شماره ۸۱: ستون چینه شناسی، زون های آمونیتی و فرامینی فرهای ردیف های رسوبی مطالعه شده در برش صالح آباد.
۱۶۲	شکل شماره ۸۲: لایه های زبرین سازند آیتمیر با شیب کم در برش زاوین.
۱۶۷	شکل شماره ۸۳: لیتارنایت گلوکونیتی؛ زاوین؛ بخش ۹؛ شماره مقطع نازک: At.Z.3.1.b
۱۶۷	شکل شماره ۸۴: ساب لیتارنایت گلوکونیتی؛ زاوین؛ بخش ۱۱؛ شماره مقطع نازک: At.Z.5.1.b
۱۶۹	اشکال شماره ۸۶ و ۸۵: گلوکونیت آرنایت؛ زاوین؛ بخش ۱۸؛ شماره مقطع نازک: At.Z.3.1-A
۱۷۱	شکل شماره ۸۷: سنگ آهک ماسه ای گلوکونیت دار؛ زاوین؛ بخش ۲۰؛ شماره مقطع نازک: At.Z.5.1A
۱۷۱	شکل شماره ۸۸: ساب لیتارنایت گلوکونیتی؛ زاوین؛ بخش ۲۲؛ شماره مقطع نازک: At.Z.7.1A
۱۷۳	شکل شماره ۸۹: آخرین لایه های رخنمون دار در برش زاوین.

۱۷۴	شکل شماره ۹۰: Mortoniceratinae H. Douville, 1912 (بخش ۲۳); زاوین؛ آیتمیر.
۱۷۴	شکل شماره ۹۱: قالب فسیل <i>Mortoniceras (Mortoniceras) inflatum</i> (J. Sowerby 1818) زاوین؛ آیتمیر.
۱۷۵	نمودار ۵: نسبت فراوانی تاکسون های آمونیتی در برش زاوین.
۱۷۷	شکل شماره ۹۲: ستون چینه شناسی، زون های آمونیتی و فرامینی فرهای ردیف های رسوبی مورد مطالعه در برش زاوین.
۱۷۹	شکل شماره ۹۳: سنکلینال پادگان قدس؛ سازند آیتمیر.
۱۸۳	اشکال شماره ۹۵ و ۹۶: سنگ آهک ماسه ای فسیل دار، پادگان قدس؛ بخش ۱۱؛ شماره مقطع نازک: At.P.4.1A
۱۸۴	شکل شماره ۹۷ و ۹۶: ساب لیترنایت؛ پادگان قدس؛ بخش ۱۴؛ شماره مقطع نازک: At.P.6.2.A
۱۸۶	شکل شماره ۹۸: نبود پوشش و فرسایش در سطح برخی از لایه های ماسه سنگی و شرایط ایده آل برای جمع آوری فسیل، سازند آیتمیر؛ پادگان قدس.
۱۸۸	نمودار ۶: نسبت فراوانی تاکسون های آمونیتی در برش پادگان قدس.
۱۸۹	شکل شماره ۹۹: ستون چینه شناسی، زون های آمونیتی و فرامینی فرهای ردیف های رسوبی مورد مطالعه در برش پادگان قدس.
۱۹۰	شکل شماره ۱۰۰: مرز سازند های سنگانه و آیتمیر در برش قره سو.
۱۹۱	شکل شماره ۱۰۱: تناوب شیل و لایه های قائم ماسه سنگی بخش زیرین سازند آیتمیر؛ قره سو.
۱۹۳	اشکال شماره ۱۰۲ و ۱۰۳: ماسه سنگ گلوكونیتی؛ قره سو؛ بخش ۳؛ شماره مقطع نازک: At.Gh.2.1-C
۲۰۰	شکل شماره ۱۰۴: دو نمونه از رد فسیل های بدست آمده از بخش ۳۰؛ قره سو.
۲۰۰	شکل شماره ۱۰۵: ساب لیترنایت گلاکونیتی؛ قره سو؛ بخش ۳۲؛ شماره مقطع نازک: At.Gh.4.3 b

۲۰۱	اشکال شماره ۱۰۶ و ۱۰۷: نودول؛ قره سو؛ نودول بخش ۳۲؛ شماره مقطع نازک: At.Gh.4.4b
۲۰۶	نمودار ۷: نسبت فراوانی تاکسون های آمونیتی در برش قره سو.
۲۰۶	شکل شماره ۱۰۸: مرز سازند آیتمیر و سازند آبدراز در برش قره سو.
۲۰۸	شکل شماره ۱۰۹: ستون چینه شناسی، زون های آمونیتی و فرامینی فرهای ردیف های رسوبی مورد مطالعه در برش قره سو.
۲۰۹	ادامه شکل شماره ۱۰۹: ستون چینه شناسی، زون های آمونیتی و فرامینی فرهای ردیف های رسوبی مورد مطالعه در برش قره سو.
۲۱۰	ادامه شکل شماره ۱۰۹: ستون چینه شناسی و زون های آمونیتی ردیف های رسوبی مورد مطالعه در برش قره سو.
۲۱۲	شکل شماره ۱۱۰: نمایش مختصات قابل اندازه گیری برروی <i>Hypacanthoplites uhligi</i> (Anthula, 1899)
۲۲۲	جدول شماره ۳: زون های آمونیتی، تغییرات قاعده آلبین و موقعیت زون jacobi از سال ۱۹۰۸ تا ۲۰۰۰ در منطقه شمال اروپا (H. G. Owen, 2002).
۲۲۴	جدول شماره ۴: زون های آمونیتی آپسین پسین و آلبین، اقتباس از Kilian Group 2006
۲۳۱	شکل شماره ۱۱۱: <i>Schloenbachia varians ventriosa</i> Stieler و <i>S. varians</i> سنومانین پیشین، مقطع قرقه، <i>Schloenbachia coupei</i> (Brongniart, 1822) سنومانین میانی، مقطع صالح آباد.
۲۳۲	شکل شماره ۱۱۲: تاکسونومی <i>S. varians</i> و <i>S. coupei</i> در محدوده زمانی سنومانین پیشین و میانی.
۲۳۳	شکل شماره ۱۱۳: شماتیک تغییر و تبدیل مورفولوژیکی انواع مختلف <i>S. varians</i> .
۲۳۵	شکل شماره ۱۱۴: ارتباط مورفولوژی فرم های مختلف <i>S. varians</i> با محیط زندگی آنها.
۲۳۸	جدول شماره ۵: زون های آمونیتی سنومانین؛ برگرفته از Kaplan et al. 1996
۲۴۲	جدول شماره ۶: زون و زیرزون های استاندارد آمونیتی آلبین؛ برگرفته از Amedro, 1992

۲۴۵	اشکال شماره ۱۱۵ و ۱۱۶: شیل های زبرین سازند آیتمیر در برش قرقره که حاوی تعداد زیادی آمونیت های سنومانین پیشین است.
۲۵۱	اشکال شماره ۱۱۷ و ۱۱۸: مقایسه <i>A. cantabrigiensis</i> و <i>A. planus</i>
۲۶۳	اشکال شماره ۱۱۹ و ۱۲۰: سه نمونه <i>Anahoplites praecox</i> Spath از برش امیرآباد.
۲۸۶	جدول شماره ۷: بیواستراتیگرافی آلبین پسین بر مبنای تغییرات صفات گونه ای Amedro (1992) توسط <i>Mortoniceras</i>
۳۱۰	جدول ۸: حضور خانواده های آمونیتی در برش های مورد مطالعه (از شرق به غرب).
۳۱۲	شکل A: مقایسه ستون زیست چینه ای برش های مطالعه شده.
۳۱۴	جدول ۹: مقایسه آمونیت های تاکنون گزارش شده از آپسین پسین تا سنومانین پسین ایران مرکزی و کپه داغ.
۳۲۸	شکل شماره ۱۲۱: محیط رسوبگذاری سازند آیتمیر به صورت شماتیک.
۳۲۹	شکل شماره ۱۲۲: دیرینه جغرافیای آلبین - سنومانین در غرب تیتیس (با تغییرات براساس Philip & Floquet, 2000)
۳۳۰	شکل شماره ۱۲۳: نمونه های مختلف <i>S. varians</i> (برداشت شده از برش های مورد مطالعه).
۳۳۱	شکل شماره ۱۲۴: نمونه های آمونیتی توصیف شده توسط Kaplan et al., 1998 از وستفالن (آلمان).
۳۳۶	نمودار ۸: نسبت کل فراوانی تاکسون های آمونیتی در برش های مورد مطالعه.
۳۳۷	جدول ۱۰: نمونه های مورد مطالعه که برای اولین بار از ایران یا کپه داغ گزارش شده اند.
۳۵۱	تابلو آمونیت ها

فصل اول

کلیات

- اهداف تحقیق
- روش تحقیق
- مختصات جغرافیائی و راههای دسترسی به برش های چینه شناسی مورد مطالعه
- پیشینه تحقیقات حوضه کپه داغ
- نگاهی کوتاه به ردیف های رسوبی کرتاسه در کپه داغ
- نگاهی کوتاه به ردیف های رسوبی و فونای آمونیتی آپسین - سنومانین در ایران مرکزی و انطباق آن با کپه داغ